

НЕКОТОРЫЕ ПРИЧИНЫ НЕСТАБИЛЬНОСТИ СВЕЧЕНИЯ $GaP:N$ СВЕТОДИОДОВ

Т.В. Торчинская, А.Г. Карабаев,
Ж.С. Абдуллаев, А.А. Шматов,
М.К. Шейнкман

Под нестабильностью свечения зеленых $GaP:N$ светодиодов (СД) понимают значительное возрастание мощности излучения Р в первые 2–5 минут после подачи на диод прямого смещения. Нестабильность свечения чаще всего связывают с преобразованием глубоких центров в активной области приборов [1]. Подобные процессы были изучены ранее в материалах A_2B_6 [2] и фотоэлектрических приборах на их основе [3, 4], а также обнаружены в полупроводниках A_3B_5 [5] и кремнии [6]. В настоящей работе делается попытка выяснить причины нестабильности свечения зеленых $GaP:N$ СД и определить параметры дефектов, ее обуславливающих.

В работе исследовались промышленные р⁺-р-п-п⁺ типа $GaP:N$ СД, полученные, как описано в [7]. Измерялись спектры электролюминесценции (ЭЛ) в диапазоне длин волн 0.5–2.0 мкм и температур 77–300 К, температурное гашение различных полос ЭЛ, ваттвольт-амперные характеристики, кинетика возрастания мощности излучения при различных температурах, а также периметры глубоких центров в области пространственного заряда (ОПЗ) р-п-перехода. Последние оценивались методом РСГУ ($DLT S$) на установке, описанной в [8].

Возрастание мощности излучения (Р) $GaP:N$ СД при приложении прямого смещения и протекании тока 10 мА (4A/cm², 300 К) демонстрирует рис. 1,а. Кинетика изменения величины Р со временем может быть представлена следующей зависимостью:

$$P(t) = P_{\infty} - (P_{\infty} - P_0) \exp\left(-\frac{t}{\tau}\right),$$

где P_0 , P_{∞} – мощность излучения в моменты времени $t = 0$ и $t \rightarrow \infty$, а τ – постоянная времени изменения величины Р. Последняя зависит от температуры (рис. 1,б) как

$$\tau = \tau_0 \exp \frac{E_a}{kT},$$

где E_a – энергия активации процесса, равная 0.10 ± 0.03 эВ. При температуре ниже 120–150 К возрастание интенсивности свечения практически не происходит. После отключения прямого смещения при 300 К и повторного его приложения возрастание Р также не наблюдается, и величина Р соответствует области насыщения. Состояние с высокой мощностью излучения сохраняется после отключе-

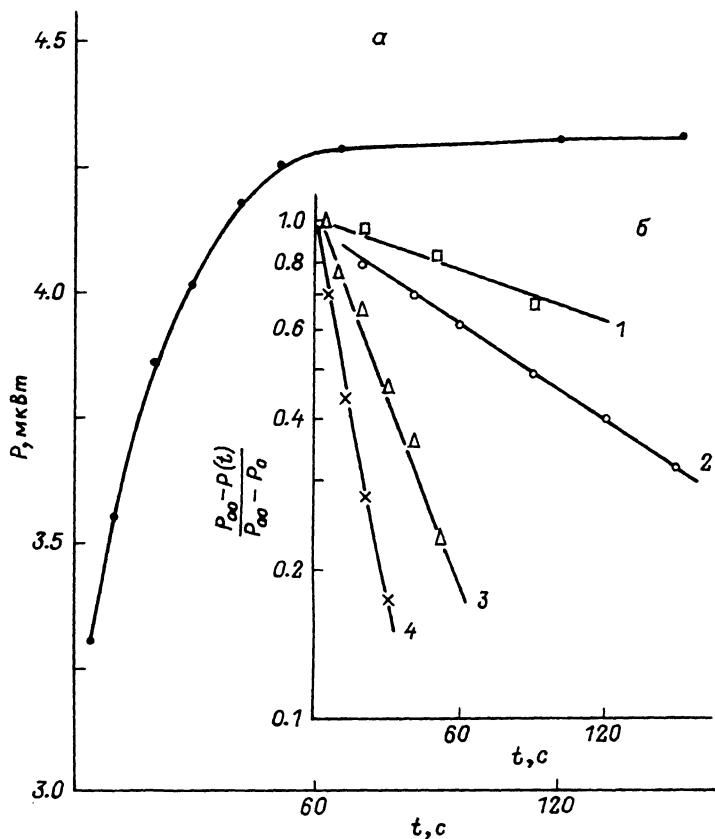


Рис. 1. а) Кинетика изменения мощности излучения GaP:N СД при приложении прямого смещения и протекании тока $I = 10$ мА.
б) Кинетика изменения мощности излучения GaP:N СД при прямом смещении и температурах 170 (1), 190 (2), 230 (3) и 280 (4) К.

чения прямого смещения при 300 К в течение нескольких суток. Исходное состояние СД с низкой силой света может быть получено после кратковременного (30 мин) термоотжига диодов при 375–400 К.

Таким образом, при температуре 77 К оказалось возможным сравнить характеристики диодов в двух состояниях: 1) исходном (с низкой мощностью излучения) – после прогрева СД до 400 К и охлаждения до 77 К без приложения прямого смещения; 2) в состоянии с повышенной мощностью свечения – после охлаждения от 400 К до 77 К при прямом смещении. Последнее состояние может

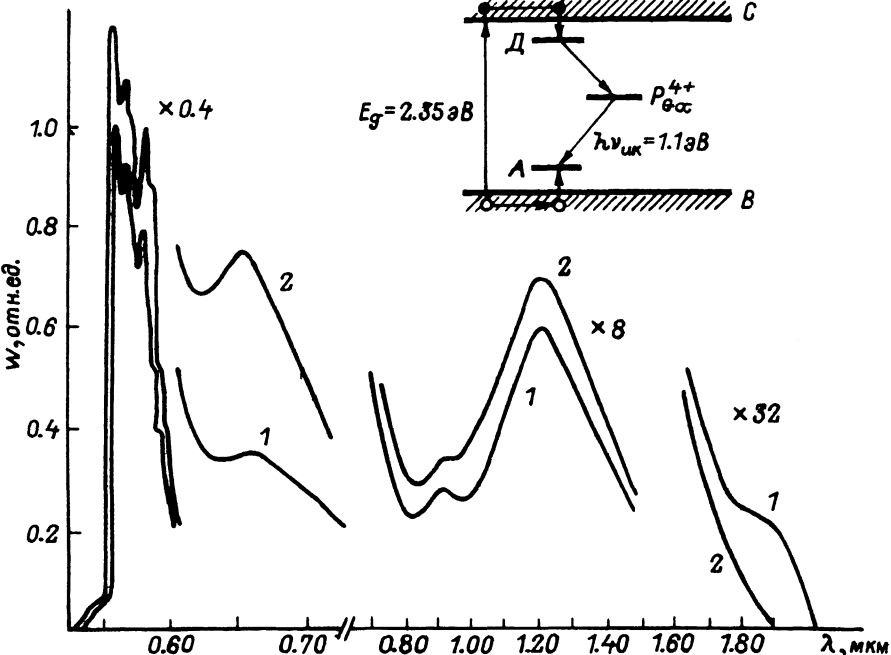
а*б*

Рис. 2. Спектры ЭЛ $\text{GaP}:N$ СД при 77 К в двух состояниях: исходном (1) и после подачи при 300 К смещения и охлаждения до 77 К (2).

быть получено также при освещении СД при 300 К когерентным излучением лазера с длиной волны $\lambda_l = 0.537$ мкм, соответствующим области зонно-зонного поглощения света в кристаллах GaP при 300 К. Этот факт свидетельствует о том, что возрастание мощности свечения $\text{GaP}:N$ СД обусловлено не процессами на контактах при протекании прямого тока (например, перераспределением напряжения между контактом и ОПЗ р-п перехода), а связано с активной областью диодов.

В двух состояниях были измерены спектры ЭЛ при 77 К (рис. 2, а). Последние в исходном состоянии содержали четыре полосы свечения: основную в зеленой области, представляющую совокупность тонких линий, возникающих при рекомбинации экситонов, связанных на дефектах NN_f (2.18 эВ), и их фононных повторений $NN_f\text{-TA}$ (2.17 эВ) и $NN_f\text{-LO}$ (2.13 эВ). На коротковолновом крае зеленой полосы наблюдались также линии A (2.31 эВ) и $A\text{-LO}$ (2.26 эВ), обусловленные рекомбинацией экситонов на изолированных атомах N [9].

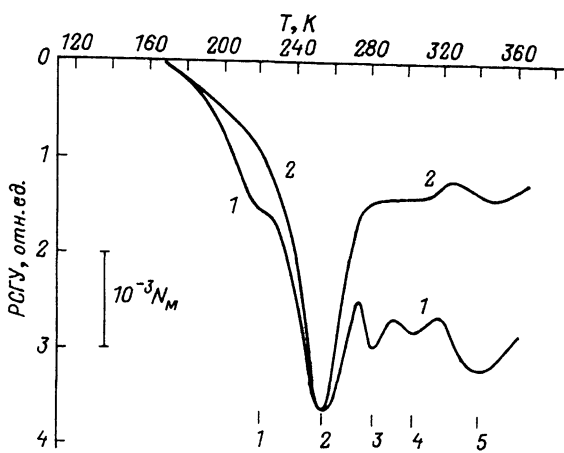


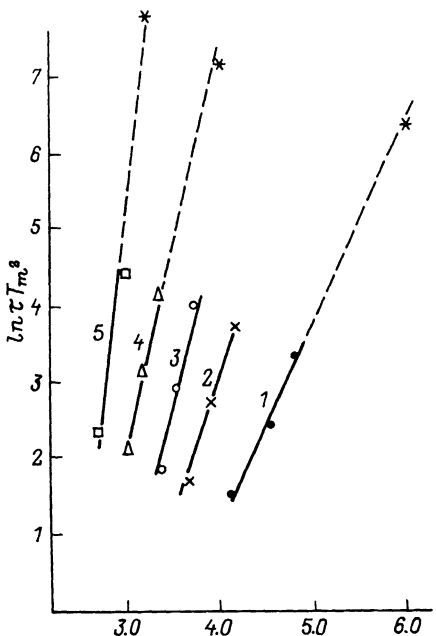
Рис. 3. Спектры РСГУ сигнала $\text{GaP}:N$ СД, измеренные в режиме без инжекции в двух состояниях: исходном (1) и после (2) приложения при 300 К прямого смещения и охлаждения до 77 К, $\tau = 233$ мкс.

В длинноволновой части спектра СД присутствовала красная полоса с $h\nu_m = 1.88$ эВ, обусловленная, по-видимому, излучательной рекомбинацией электронов, локализованных на $\text{Zn}-\text{O}$ комплексах, с дырками, связанными на акцепторе Ga_S [10], и две инфракрасные полосы с $h\nu_m = 1.05-1.00$ эВ и 0.69-0.65 эВ. Как следует из [11], полоса с $h\nu_m = 1.05$ эВ сложная и представляет собой суперпозицию двух полос 1.10 и 0.97 эВ, обусловленных излучательными переходами с участием Ga^{4+} дефекта (рис. 2, б). Природа полосы с $h\nu_m = 0.69-0.65$ эВ не ясна.

В состоянии с повышенной мощностью излучения спектр ЭЛ при 77 К содержал три полосы свечения: зеленую и красную, описанные выше, а также ИК полосы с $h\nu_m = 1.03-1.00$ эВ. Интенсивность всех трех полос в этом состоянии была выше, чем в исходном (рис. 2, кривая 2). ИК-полоса с $h\nu_m = 0.69-0.65$ эВ в состоянии с высокой силой света либо вообще не присутствовала, либо была намного меньше по интенсивности, чем в исходном.

Спектры РСГУ сигнала в двух состояниях представлены на рис. 3. Зависимость логарифма постоянной времени перезарядки глубоких центров от обратной температуры демонстрирует рис. 4. Параметры обнаруженных центров приведены в таблице. Как видно из рис. 3, в исходном состоянии в спектре РСГУ сигнала имеется пять пиков, соответствующих ловушкам для основных носителей-электронов, поскольку в $\text{GaP}:N$ СД ОПЗ сосредоточена в п-слое. При переходе в состояние с высокой силой света величина пика, обусловленного ловушкой $E_c = 0.42$ эВ, изменяется, а интенсивность всех остальных пиков существенно уменьшается (рис. 3, кривая 2).

Рис. 4. Температурная зависимость постоянной термоэмиссии различных пиков в спектре РСГУ. Номера кривых соответствуют номерам пиков рис. 3. Звездочками показаны параметры ловушек E_3 , E_4 и E_5 из работы [14].



Ток на прямой и обратной ветвях ВАХ исследованных СД при 77 К в обоих состояниях был одинаковым (с точностью до 0.5). Это свидетельствует о том, что преобразование дефектов происходит не в ОПЗ р-п-перехода ($W \sim 0.2$ мкм), а преимущественно в активной области диодов, определяемой диффузионной длиной инжектированных неосновных носителей ($L_e \sim L_p \sim 1-2$ мкм).

Возможно также, что реком-

бинационный ток р-п-перехода связан с другими дефектами, концентрация которых в ОПЗ СД значительно выше, чем концентрация преобразующихся центров.

Из приведенных результатов видно, что при приложении прямого смещения в п-слое СД происходит инжекционно-стимулированный отжиг глубоких центров. Из обнаруженных нами центров только концентрация ловушек E_c -0.42 эВ не изменялась при приложении прямого смещения. Ловушка донорного типа с такой энергией активации была обнаружена ранее в р-типа эпитаксиальных пленках GaP , легированных азотом при концентрации азота выше $2 \cdot 10^{16} \text{ см}^{-3}$, и связывалась с комплексами, включающими азот [8, 12, 13].

Ловушки для электронов E_c -0.29, 0.52 и 0.65 эВ, обнаруженные в настоящей работе и претерпевающие инжекционно-стимулированный отжиг, близки по параметрам к ловушкам для электронов E_c -0.32 (E_3), 0.48 (E_4) и 0.62 (E_5) эВ (рис. 4), возникающим в п- GaP , облученном потоком электронов с энергией 1 МэВ, которые также отжигались в условиях инжекции [5, 14]. Авторы [14] обнаружили, что ловушки E_3 , E_5 и E_4 термически отжигаются при $T = 140$ и 230 °С соответственно, что характерно для двух основных стадий отжига в GaP радиационных дефектов, связанных с атомами углерода (130-160 °С) и с примесями азот, бор или междуузельными дефектами P_i (260-290 °С).

В условиях инжекции в $GaP:N$ СД уменьшается также интенсивность полосы свечения $\hbar\gamma_m = 0.65-0.69$ эВ. Исследование тем-

Концентрация мелких ионизированных доноров в ОПЗ,
 $N_m = 2 \cdot 10^{16} \text{ см}^{-3}$

№ пика	Тип ловушки	σ , см^2	$E_c - E_t$, эВ
1	E_3	10^{-15}	0.29 ± 0.03
2		10^{-14}	0.42 ± 0.01
3		10^{-13}	0.48 ± 0.03
4	E_4	10^{-14}	0.52 ± 0.03
5	E_5	10^{-15}	0.65 ± 0.03

пературного гашения этой полосы показало, что снижение ее интенсивности с ростом температуры происходит с энергией активации 0.05 эВ. Если предположить, что эта полоса обусловлена излучательной рекомбинацией электронов, локализованных на донорах $E_c - 0.05$ эВ, с дырками, локализованными на неких глубоких центрах, то энергетическое положение последних близко к глубине ловушек $E_c - 0.72$ эВ (E_6), также обнаруженных в работе [14] и претерпевающих рекомбинационно-ускоренный отжиг. Широкий максимум (пик 5, рис. 3) в спектрах РСГУ настоящей работы в области температур, характерной для ловушек E_5 , E_6 , позволяет считать, что он представляет собой суперпозицию двух пиков (по аналогии с результатами работы [14]).

Таким образом, в настоящей работе в $\text{GaP}:N$ СД была обнаружена серия глубоких центров, локализованных в п-области р-п-перехода, концентрация которых уменьшалась в процессе инжекции в п-слой неравновесных дырок. Параметры указанных ловушек оказались близки параметрам дефектов, возникающих в GaP при электронном облучении и проявляющих рекомбинационно-ускоренный отжиг. Можно думать, что и в исследованных СД рекомбинация инжектированных в п-слой дырок через электронные ловушки, сопровождающаяся выделением значительной энергии, приводит к их отжигу, обуславливая нестабильность сведения СД. Поскольку исследованные СД не подвергались облучению, то обнаруженные ловушки возникают, очевидно, в каких-то технологических процессах при создании диодов.

Л и т е р а т у р а

- [1] Торчинская Т.В., Шейнкман М.К. – ЖПС, 1983, т. 38, № 3, с. 371–382.
- [2] Sheinkman M.K., Korsunskaja N.E., Markovich I.V., Torgchinskaja T.V. – J. Phys. Chem. Solids, 1982, v. 43, N 5, p. 475–479.
- [3] Торчинская Т.В., Байдоха Л.Н., Рахлини М.Я. ЖПС, 1984, т. 32, № 3, с. 271–276.

- [4] Торчинская Т.В., Мирзажанов М.А.,
Марченко А.И. и др. - ЖПС, 1984, т. 41, № 4,
с. 630-635.
- [5] Ланг Д. В кн.: Точечные дефекты в твердых телах, М.:
Мир, 1979. 379 с.
- [6] Troxeff J.R., Chatterjee A.B.,
Watkins G.D. et al. Phys. Rev., 1973, v. B8,
p. 2906.
- [7] Коган Л.М. Полупроводниковые светоизлучающие диоды.
М.: Энергоиздат, 1983. 208 с.
- [8] Торчинская Т.В., Шматов А.А., Строч-
ков В.И., Шейнкман М.К. - ФТП, 1986, т. 20,
№ 4, с. 701-707.
- [9] Юнович А.Э. В кн.: Излучательная рекомбинация в полу-
проводниках. / Под. ред. Покровского Я.Е., М.: Наука, 1972,
с. 224-304.
- [10] Попов А.С. - ФТП, 1977, т. 11, № 6, с. 1702-1076.
- [11] Killorant N., Cavenett B.C.,
Godlewski et al. - J. Phys. C, Sol. Stat.
Phys., 1982, v. 15, N 22, p. 723-728.
- [12] Smith B.L., Hayes T.J., Pea-
ker A.R., Wright D.R. - Appl. Phys. Lett.,
1975, v. 26, N 3, p. 122-126.
- [13] Longini R.L. - Sol. St. Electr., 1962, N 2,
p. 123-130.
- [14] Lang D.V., Kimerling L.C., - Appl.
Phys. Lett., 1976, v. 28, N 2, p. 248-256.

Поступило в Редакцию
8 июня 1988 г.

Письма в ЖТФ, том 14, вып. 18

26 сентября 1988 г.

ПОВЕРХНОСТНЫЕ МАГНИТОПЛАЗМЕННЫЕ
ПОЛЯРИТОНЫ В ИОННОМ КРИСТАЛЛЕ
С ДВУМЕРНЫМ ЭЛЕКТРОННЫМ СЛОЕМ

Х.К. Гранада, Ю.А. Косевич,
А.М. Косевич

Рассматривается ионный кристалл, на поверхности которого рас-
положен двумерный ($2D$) электронный слой, помещенный во внеш-
нее магнитное поле H , перпендикулярное плоскости слоя. В работе
[1] в пренебрежении запаздыванием электромагнитных волн исследо-
ваны особенности связанных фонон-магнитоплазменных поверхнос-
тных колебаний в такой системе и обращено внимание на возмож-
ность существования поверхностных волн с отрицательной групповой